

This map includes data compiled from two separately flown airborne surveys. The Mount Polley area was surveyed in 1993 using the Geological Survey of Canada's Skyvan fixed-wing aircraft and 50 litres of NaI detectors, flown with 500 m line spacing at 120 m above terrain.

Horseshy 2003 Survey
The Horseshy area was surveyed in 2003 by Fugro Airborne Surveys under contract to the Geological Survey of Canada. Funding for this survey was provided by the British Columbia and Yukon Chamber of Mines' "Rocks to Riches" Program. The Horseshy survey was completed between September 23 and 28, 2003, using an Aerospatiale AS350B2 helicopter (registration C-FZTA).

Flight path was recovered using a post-flight differential Global Positioning System. A vertically mounted video camera was used for verification of the flight path. The average traverse line spacing was 500 m with control lines flown at 4.0 km intervals. Helicopter flight height was maintained at an average ground clearance of 135 m.

The gamma ray spectrometry data were recorded at a 1.0 second sample rate into 256 channel main and radon spectra using an Exploranium GR820 spectrometry system. The volume of NaI in the two detectors comprising the system were: main detector, 33.4L; radon detector 4.2L. Counts from the main detector were recorded in five windows corresponding to thorium (2410 - 2810 keV), uranium (1660 - 1860 keV), potassium (1370 - 1570 keV), total radioactivity (400 - 2815 keV) and cosmic radiation (3000 to >6000 keV). Counts from the radon detector were recorded in the radon window (1860 - 1960 keV). The radon detection system was calibrated following methods outlined in Grasty and Minty (1995). After removal of the background, the data were corrected for spectral interferences, changes in temperature, pressure and departures from the 135 m planned survey elevation. The data were then converted to standard concentration units and ratios and then interpolated to an 80 m square grid. The ternary image grid was created from the three concentration grids.

The aeromagnetic data were recorded at a 0.1 second sample rate using a 0.01 nT sensitivity split-beam cesium vapour magnetometer suspended 25 m below the helicopter. The control line traverse line magnetic data were corrected for variations in the magnetic field using the ground station magnetometer data. After editing the survey data, the intersections of traverse and control lines were established and the differences in the magnetic values were computer analysed to obtain the leveling network. Global Positioning System data were used to compute the International Geomagnetic Reference Field data circa. 2003.10, which was subtracted from the total magnetic field data to produce the residual magnetic field. The resulting residual magnetic field values were interpolated to an 80 m square grid. The first vertical derivative of the magnetic field was computed from the grid of the residual magnetic field.

All gridded data are presented as colour interval maps combined with digital topographic files provided by the British Columbia Geological Survey and Development Branch.

Grasty, R.L. and Minty, B.R.S. (1995) A guide to the technical specifications for airborne gamma-ray surveys; Australian Geological Survey Organisation, Record 1995/60, 89 p.

Cette carte représente les données compilées de deux levés aéroportés. Le levé de la région du Mount Polley fut exécuté en 1993 par l'avion de la Commission géologique du Canada, un SKYVAN, transportant un volume de 50 litres de détecteurs de NaI. L'espacement des lignes de vol était de 500 m à une altitude de 120 m.

Levé de Horseshy
Le levé de Horseshy a été effectué en 2003 par Fugro Airborne Surveys à contrat pour la Commission géologique du Canada. Le financement du levé provient du gouvernement de la Colombie-Britannique et du programme "Rocks to Riches" de la Chambre des mines du Yukon. Les opérations ont été exécutées du 23 au 28 septembre 2003 en utilisant un hélicoptère Aerospatiale AS350B2 (immatriculé C-FZTA).

Le recouvrement des lignes de vol s'est fait à l'aide de mesures de système de positionnement global corrigées en temps différentiel après vol. Une caméra vidéo montée verticalement a été utilisée pour la vérification du plan de vol. L'espacement moyen des lignes de vol était de 500 m, recoupées par des lignes de contrôle séparées d'environ 4,0 km les unes des autres. L'hélicoptère a maintenu une altitude moyenne de 135 m au-dessus du sol.

Les données spectrométriques des rayons gamma ont été enregistrées selon un taux d'échantillonnage de 1,0 seconde à l'aide d'un détecteur principal de 268 canaux et d'un détecteur de radon en utilisant un spectromètre Exploranium GR820. Les volumes de NaI dans les deux détecteurs composant le système étaient les suivants: 33,4 l pour le détecteur principal, 4,2 l pour le détecteur de radon. Les comptes du détecteur principal ont été enregistrés dans cinq fenêtres correspondant au thorium (2410 - 2810 keV), à l'uranium (1660 - 1860 keV), au potassium (1370 - 1570 keV), à la radioactivité totale (400 - 2815 keV) et au rayonnement cosmique (3000 - >6000 keV). Les comptes du détecteur de radon ont été enregistrés dans la fenêtre du radon (1860 - 1960 keV). Le système de détection du radon a été étalonné selon les méthodes décrites par Grasty et Minty (1995). Après élimination du bruit de fond, les données ont été corrigées pour tenir compte des interférences spectrales, des changements de température, de la pression et des écarts par rapport à l'altitude prévue du levé (135 m). Les données ont été ensuite converties en unités de concentration habituelles et leurs rapports, puis interpolés sur une grille avec une maille de 80 m de côté. La carte ternaire a été calculée à partir des grilles des trois éléments radioactifs.

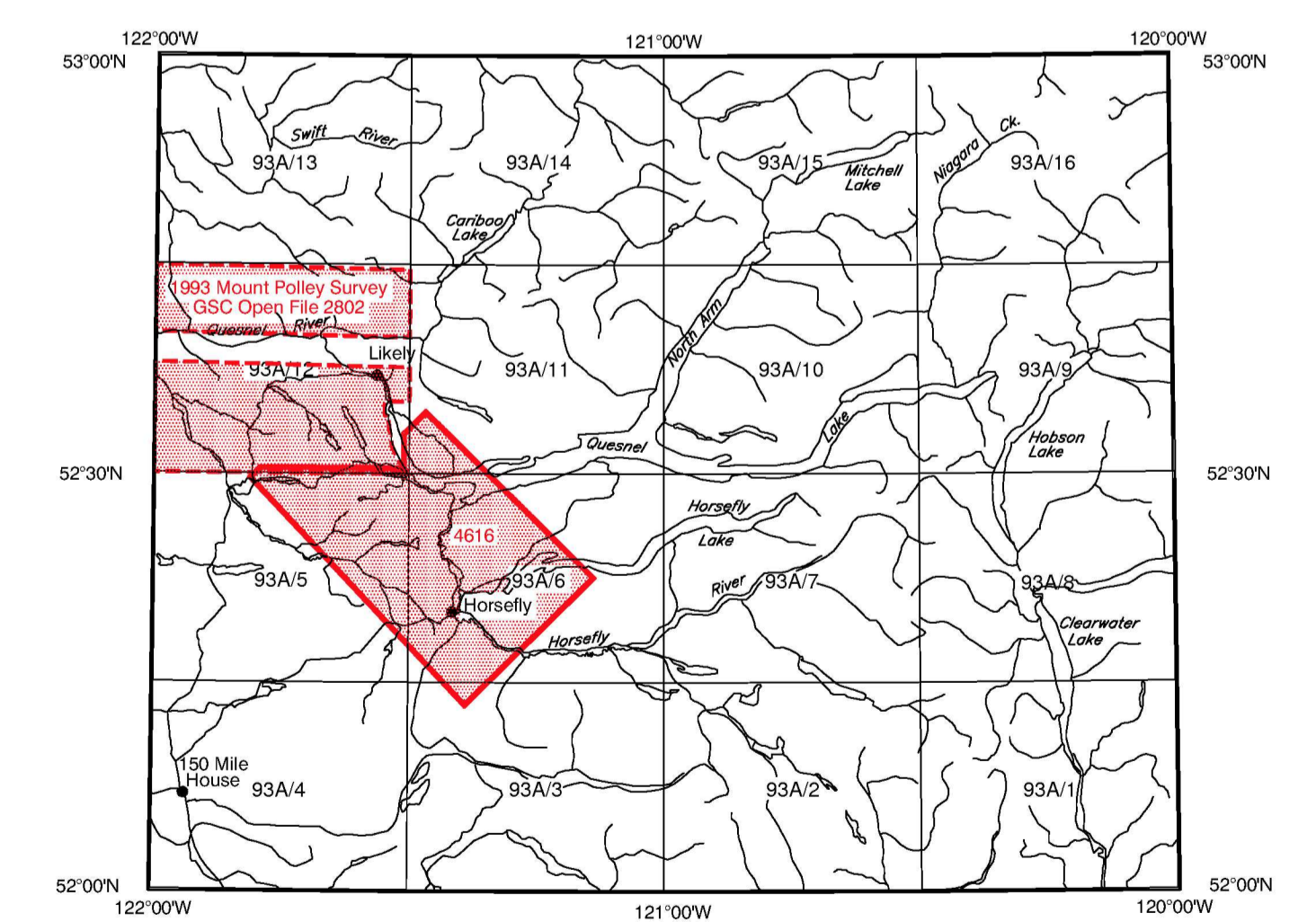
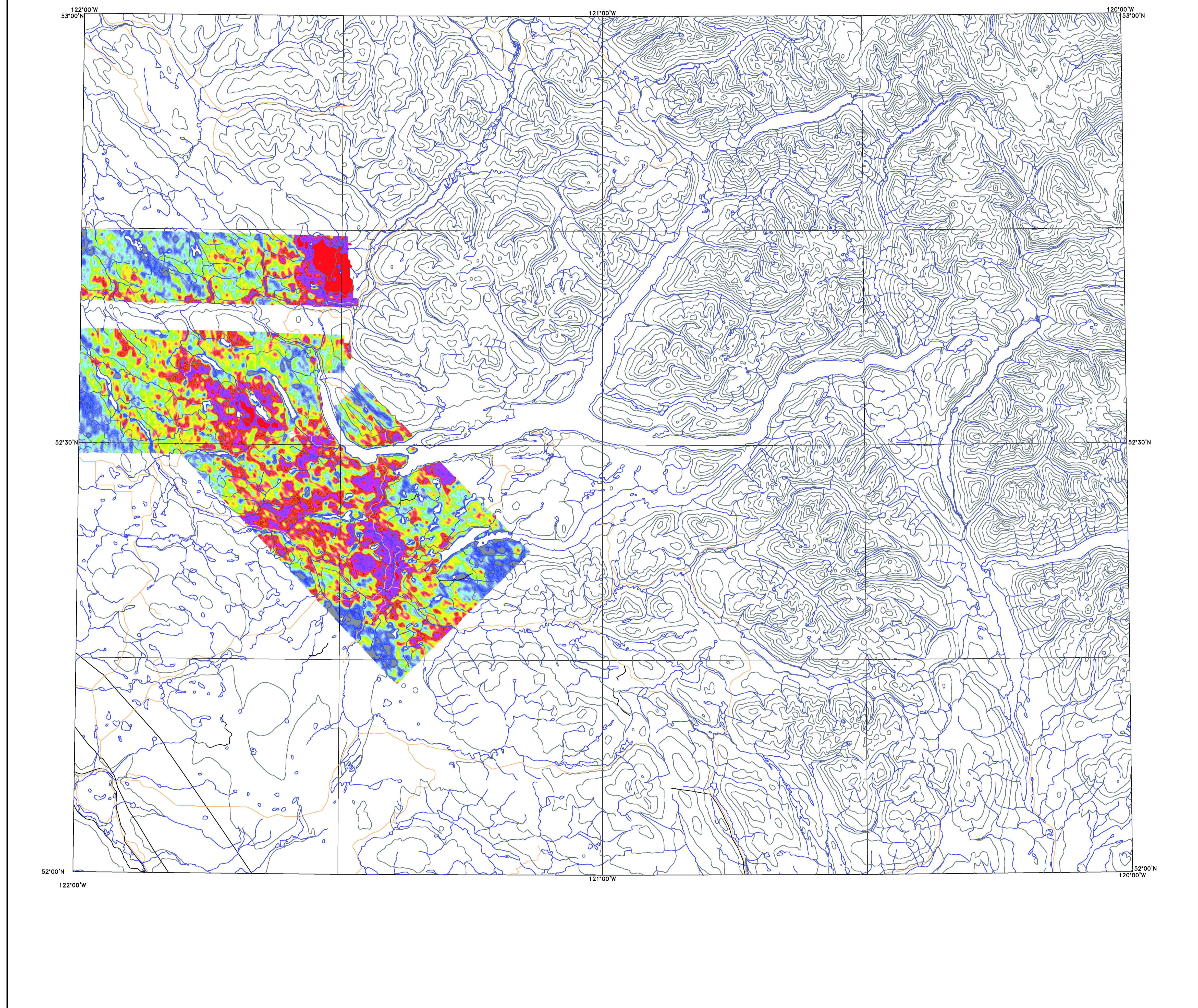
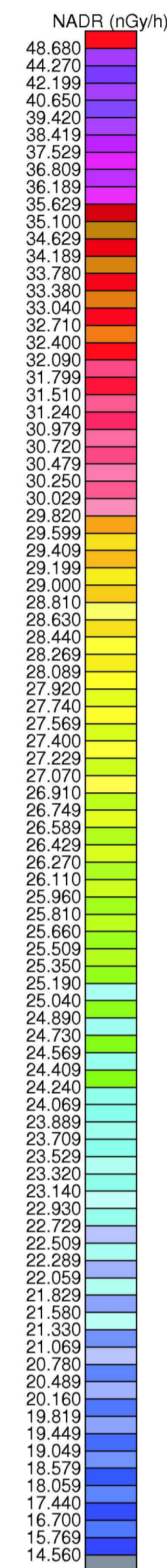
Les données aéromagnétiques ont été enregistrées à une fréquence de 0,1 seconde en utilisant un magnétomètre à vapeur de césium d'une sensibilité de 0,01 nT suspendu à 25 m sous l'hélicoptère. Les données magnétiques des lignes de contrôle et de traverses ont été corrigées pour les variations de champ géomagnétique en utilisant les données du magnétomètre au sol. Une fois les données du levé vérifiées, les coordonnées des intersections des lignes de vol et des lignes de contrôle ont été déterminées et la différence des valeurs magnétiques a été analysée pour obtenir le réseau de nivellement. Les données du système de positionnement global ont été utilisées pour obtenir le champ géomagnétique international de référence calculé pour 2003,10 qui a été soustrait du champ total pour obtenir le champ magnétique résiduel. Les données du champ magnétique résiduel ont été interpolées selon une grille de maille carrée de 80 m de côté. Finalement, la grille de la première dérivée verticale du champ magnétique a été calculée à partir du champ magnétique résiduel et prolongée vers le haut de 30m.

Toutes les données sont présentées comme des cartes d'intervalles combinées avec les fichiers numériques de la topographie fournis par British Columbia Geological Survey and Development Branch.

Grasty, R.L. and Minty, B.R.S. (1995) A guide to the technical specifications for airborne gamma-ray surveys; Australian Geological Survey Organisation, Record 1995/60, 89 p.

Recommended citation:
Shives, R.B.K., Carson, J.M., Dumors, R., Ford, K.L., Holman, P.B., Castro, M., 2004. Helicopter-borne gamma ray spectrometric and magnetic total field geophysical survey, Horseshy area, British Columbia (part of MT5 93 A, 2, 6, 11, 12). Geological Survey of Canada Open File 4616. British Columbia Ministry of Energy and Mines Open File 2004-9. Scale 1:250 000.

Natural Resources Canada:
Shives, R.B.K., Carson, J.M., Dumors, R., Ford, K.L., Holman, P.B., Castro, M., 2004. Levé géophysique par hélicoptère, spectrométrie gamma et champ magnétique total, région de Horseshy, Colombie-Britannique (SINRC partie de 93 A/3, 6, 11, 12). Commission géologique du Canada Dossier Public 4616. British Columbia, Ministry of Energy and Mines Dossier Public 2004-9; échelle 1:250 000.



BRITISH COLUMBIA
Ministry of Energy and Mines
COMMISSION GÉOLOGIQUE DU CANADA

ROCKS TO RICHES

Natural Resources Canada
Ressources naturelles Canada

Canada

LOCATION MAP/CARTE DE LOCALISATION

**NATURAL AIR ABSORBED DOSE RATE MAP
CARTE DU TAUX D'EXPOSITION NATUREL**

MOUNT POLLEY - HORSEFLY
BRITISH COLUMBIA / COLOMBIE-BRITANNIQUE

Scale 1:250 000 - Échelle 1/250 000

Projections: Transverse Mercator Projection, North American Datum 1983, UTM Zone 18N, UTM Zone 19N, UTM Zone 20N, UTM Zone 21N, UTM Zone 22N, UTM Zone 23N, UTM Zone 24N, UTM Zone 25N, UTM Zone 26N, UTM Zone 27N, UTM Zone 28N, UTM Zone 29N, UTM Zone 30N, UTM Zone 31N, UTM Zone 32N, UTM Zone 33N, UTM Zone 34N, UTM Zone 35N, UTM Zone 36N, UTM Zone 37N, UTM Zone 38N, UTM Zone 39N, UTM Zone 40N, UTM Zone 41N, UTM Zone 42N, UTM Zone 43N, UTM Zone 44N, UTM Zone 45N, UTM Zone 46N, UTM Zone 47N, UTM Zone 48N, UTM Zone 49N, UTM Zone 50N, UTM Zone 51N, UTM Zone 52N, UTM Zone 53N, UTM Zone 54N, UTM Zone 55N, UTM Zone 56N, UTM Zone 57N, UTM Zone 58N, UTM Zone 59N, UTM Zone 60N, UTM Zone 61N, UTM Zone 62N, UTM Zone 63N, UTM Zone 64N, UTM Zone 65N, UTM Zone 66N, UTM Zone 67N, UTM Zone 68N, UTM Zone 69N, UTM Zone 70N, UTM Zone 71N, UTM Zone 72N, UTM Zone 73N, UTM Zone 74N, UTM Zone 75N, UTM Zone 76N, UTM Zone 77N, UTM Zone 78N, UTM Zone 79N, UTM Zone 80N, UTM Zone 81N, UTM Zone 82N, UTM Zone 83N, UTM Zone 84N, UTM Zone 85N, UTM Zone 86N, UTM Zone 87N, UTM Zone 88N, UTM Zone 89N, UTM Zone 90N, UTM Zone 91N, UTM Zone 92N, UTM Zone 93N, UTM Zone 94N, UTM Zone 95N, UTM Zone 96N, UTM Zone 97N, UTM Zone 98N, UTM Zone 99N, UTM Zone 100N.

OPEN FILE DOSSIER PUBLIC
4616
GEOLOGICAL SURVEY OF CANADA
COMMISSION GÉOLOGIQUE DU CANADA
2004

OPEN FILE DOSSIER PUBLIC
2004-9
BRITISH COLUMBIA
MINISTRY OF ENERGY AND MINES
2004

PUBLISHED 2004 / PUBLIÉE 2004

NATIONAL TOPOGRAPHICAL SYSTEM REFERENCE AND GEOPHYSICAL MAP INDEX
SYSTÈME NATIONAL DE RÉFÉRENCE CARTOGRAPHIQUE ET INDEX DES CARTES GÉOPHYSIQUES

NATURAL AIR ABSORBED DOSE RATE MAP
CARTE DU TAUX D'EXPOSITION NATUREL

MOUNT POLLEY - HORSEFLY
BRITISH COLUMBIA / COLOMBIE-BRITANNIQUE
93A